

Comptage asymptotique et algorithmique d'extensions cubiques relatives

Anna Morra

Université Bordeaux 1

Soutenance de thèse, 7 décembre 2009

Introduction

- K un corps de nombres
- G un groupe de permutations transitif sur n éléments

Introduction

Formule
asymptotique

Exemples

Algorithme

Résultats

Introduction

Introduction

Formule
asymptotique

Exemples

Algorithme

Résultats

- K un corps de nombres
- G un groupe de permutations transitif sur n éléments

$$\mathcal{F}_{K,n}(G) = \{ \text{extensions } L/K, [L : K] = n, \text{ la clôture galoisienne } N \text{ de } L/K \text{ a } \text{Gal}(N/K) \simeq G \} / \simeq$$

Introduction

Introduction

Formule
asymptotique

Exemples

Algorithme

Résultats

- K un corps de nombres
- G un groupe de permutations transitif sur n éléments

$$\mathcal{F}_{K,n}(G) = \{ \text{extensions } L/K, [L : K] = n, \text{ la clôture} \\ \text{galoisienne } N \text{ de } L/K \text{ a } \text{Gal}(N/K) \simeq G \} / \simeq$$

$$N_{K,n}(G, X) = |\{L \in \mathcal{F}_{K,n}(G), |\mathcal{N}\mathfrak{d}(L/K)| \leq X\}|.$$

Plusieurs questions :

- Formule asymptotique pour $N_{K,n}(G, X)$ avec (K, n, G) fixés et X qui tend vers l'infini.

Plusieurs questions :

- Formule asymptotique pour $N_{K,n}(G, X)$ avec (K, n, G) fixés et X qui tend vers l'infini.
- Valeur exacte de $N_{K,n}(G, X)$ pour (K, n, G, X) fixés.

Plusieurs questions :

- Formule asymptotique pour $N_{K,n}(G, X)$ avec (K, n, G) fixés et X qui tend vers l'infini.
- Valeur exacte de $N_{K,n}(G, X)$ pour (K, n, G, X) fixés.
- Tables des corps de nombres dans $\mathcal{F}_{K,n}(G)$ jusqu'à une certaine borne X sur le discriminant relatif.

Résultats principaux

Introduction

Formule
asymptotique

Exemples

Algorithme

Résultats

- Une **formule asymptotique** pour les extensions cubiques (relatives) avec résolvante quadratique fixée. (avec H. Cohen)

Résultats principaux

Introduction

Formule
asymptotique

Exemples

Algorithme

Résultats

- Une **formule asymptotique** pour les extensions cubiques (relatives) avec résolvante quadratique fixée. (avec H. Cohen)
- Un **algorithme** pour énumérer les extensions cubiques de K jusqu'à une borne X sur la norme du discriminant relatif, où K est un corps quadratique imaginaire de nombre de classes 1.

Résultats principaux

Introduction

Formule
asymptotique

Exemples

Algorithme

Résultats

- Une **formule asymptotique** pour les extensions cubiques (relatives) avec résolvante quadratique fixée. (avec H. Cohen)
- Un **algorithme** pour énumérer les extensions cubiques de K jusqu'à une borne X sur la norme du discriminant relatif, où K est un corps quadratique imaginaire de nombre de classes 1.
- Des **calculs** explicites des constantes asymptotiques, et des **tables** d'extensions cubiques de K (comme ci-dessus).

Comptage d'extensions cubiques avec résolvante quadratique fixée

(avec H. Cohen)

Asymptotiques

Conjecture 1 (Malle)

$$N_{K,n}(G, X) \sim c_{K,G} X^{a_G} (\log X)^{b_{K,G}-1}$$

avec $a_G \in \mathbb{Q}$, $0 < a_G \leq 1$, $b_{K,G} \in \mathbb{Z}$, $b_{K,G} \geq 1$, $c_{K,G} > 0$.

Introduction

Formule
asymptotique

Exemples

Algorithmes

Résultats

Conjecture 1 (Malle)

$$N_{K,n}(G, X) \sim c_{K,G} X^{a_G} (\log X)^{b_{K,G}-1}$$

avec $a_G \in \mathbb{Q}$, $0 < a_G \leq 1$, $b_{K,G} \in \mathbb{Z}$, $b_{K,G} \geq 1$, $c_{K,G} > 0$.

La conjecture est vraie pour

- tous les groupes abéliens G (Cohn, Mäki, Wright).
- $n = 3$ et $G = S_3$ (Davenport-Heilbronn, Datskovsky-Wright).
- $n = 4$ et $G = D_4$ (Cohen-Diaz y Diaz-Olivier).
- $n = 4$ et 5 , $G = S_n$ et $K = \mathbb{Q}$ (Bhargava).

Conjecture 1 (Malle)

$$N_{K,n}(G, X) \sim c_{K,G} X^{a_G} (\log X)^{b_{K,G}-1}$$

avec $a_G \in \mathbb{Q}$, $0 < a_G \leq 1$, $b_{K,G} \in \mathbb{Z}$, $b_{K,G} \geq 1$, $c_{K,G} > 0$.

La conjecture est vraie pour

- tous les groupes abéliens G (Cohn, Mäki, Wright).
- $n = 3$ et $G = S_3$ (Davenport-Heilbronn, Datskovsky-Wright).
- $n = 4$ et $G = D_4$ (Cohen-Diaz y Diaz-Olivier).
- $n = 4$ et 5 , $G = S_n$ et $K = \mathbb{Q}$ (Bhargava).
- contre-exemple : Klüners (2005)

Conjecture 1 (Malle)

$$N_{K,n}(G, X) \sim c_{K,G} X^{a_G} (\log X)^{b_{K,G}-1}$$

avec $a_G \in \mathbb{Q}$, $0 < a_G \leq 1$, $b_{K,G} \in \mathbb{Z}$, $b_{K,G} \geq 1$, $c_{K,G} > 0$.

La conjecture est vraie pour

- tous les groupes abéliens G (Cohn, Mäki, Wright).
- $n = 3$ et $G = S_3$ (Davenport-Heilbronn, Datskovsky-Wright).
- $n = 4$ et $G = D_4$ (Cohen-Diaz y Diaz-Olivier).
- $n = 4$ et 5 , $G = S_n$ et $K = \mathbb{Q}$ (Bhargava).
- contre-exemple : Klüners (2005)
- Türkelli : propose une modification à la conjecture pour éviter ce type de contre-exemples.

Motivation

- On connaît des formules asymptotiques (qui prouvent la conjecture de Malle) pour extensions $C_2, C_3, S_3, C_4, V_4, D_4, S_4, S_5, \dots$

Introduction

Formule
asymptotique

Exemples

Algorithme

Résultats

Motivation

Introduction

Formule
asymptotique

Exemples

Algorithme

Résultats

- On connaît des formules asymptotiques (qui prouvent la conjecture de Malle) pour extensions $C_2, C_3, S_3, C_4, V_4, D_4, S_4, S_5, \dots$
- **mais** on n'a pas un résultat complet pour A_4 .

Motivation

Introduction

Formule
asymptotique

Exemples

Algorithme

Résultats

- On connaît des formules asymptotiques (qui prouvent la conjecture de Malle) pour extensions $C_2, C_3, S_3, C_4, V_4, D_4, S_4, S_5, \dots$
- **mais** on n'a pas un résultat complet pour A_4 .
- Résultat partiel : $N_{A_4, K}(X, C_3)$ i.e. on fixe une résolvante cubique. (Cohen)

Motivation

Introduction

Formule
asymptotique

Exemples

Algorithme

Résultats

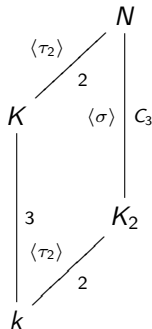
- On connaît des formules asymptotiques (qui prouvent la conjecture de Malle) pour extensions $C_2, C_3, S_3, C_4, V_4, D_4, S_4, S_5, \dots$
- **mais** on n'a pas un résultat complet pour A_4 .
- Résultat partiel : $N_{A_4, K}(X, C_3)$ i.e. on fixe une résolvante cubique. (Cohen)
- On veut trouver un résultat analogue pour les extensions cubiques, ce qui nous permet aussi de donner une formule plus précise.

Le problème

Soit k un corps de nombres, on fixe K_2 une extension quadratique de k .

On définit $\mathcal{F}(K_2)$ l'ensemble des extensions cubiques K de k (mod \sim) dont la clôture galoisienne N contient K_2 .

Si on accepte $[K_2 : k] = 1$ on peut aussi décrire les extensions cubiques cycliques.



Notre but

On cherche une formule asymptotique pour

$$N(K_2/k, X) = |\{K \in \mathcal{F}(K_2), \mathcal{N}_{k/\mathbb{Q}} \mathfrak{d}(K/k) \leq X\}|.$$

Introduction

Formule
asymptotique

Exemples

Algorithme

Résultats

Notre but

On cherche une formule asymptotique pour

$$N(K_2/k, X) = |\{K \in \mathcal{F}(K_2), \mathcal{N}_{k/\mathbb{Q}} \mathfrak{d}(K/k) \leq X\}|.$$

Mais

$$f(N/K_2) = f(K/k)\mathbb{Z}_{K_2}, \quad \text{et} \quad \mathfrak{d}(K/k) = \mathfrak{d}(K_2/k)f(K/k)^2,$$

Introduction

Formule
asymptotique

Exemples

Algorithme

Résultats

Notre but

On cherche une formule asymptotique pour

$$N(K_2/k, X) = |\{K \in \mathcal{F}(K_2), \mathcal{N}_{k/\mathbb{Q}} \mathfrak{d}(K/k) \leq X\}|.$$

Mais

$$f(N/K_2) = f(K/k)\mathbb{Z}_{K_2}, \quad \text{et} \quad \mathfrak{d}(K/k) = \mathfrak{d}(K_2/k)f(K/k)^2,$$

On étudie

$$M(K_2/k, X) = |\{K \in \mathcal{F}(K_2), \mathcal{N}_{k/\mathbb{Q}} f(K/k) \leq X\}|$$

Introduction

Formule
asymptotique

Exemples

Algorithme

Résultats

Théorème 1 (Cohen, Morra)

Soit k un corps de nombres quelconque, K_2 une extension de k , $[K_2 : k] \leq 2$.

Alors, on a une des deux formules asymptotiques suivantes:

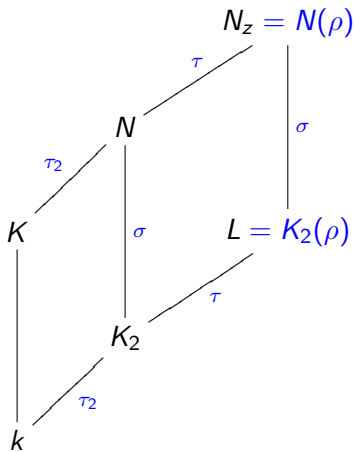
$$M(K_2/k, X) = C \cdot X + O(X^{\alpha+\varepsilon}), \text{ ou}$$

$$M(K_2/k, X) = C \cdot X(\log(X) + D - 1) + O(X^{\alpha+\varepsilon})$$

où $C > 0$, $D \in \mathbb{R}$ et $\alpha < 1$ sont des constantes explicites dépendant que de k et K_2 .

Cas général

- Introduction
- Formule asymptotique
- Exemples
- Algorithme
- Résultats



ρ racine cubique primitive de l'unité, $k \neq K_2 \neq L$.

Première bijection

Proposition 1

Il existe une bijection entre :

- *Éléments de $\mathcal{F}(K_2)$ (classes d'isomorphisme d'extensions K/k ayant résolvante quadratique isomorphe à K_2) , et*
- *éléments $\bar{\alpha} \in \mathcal{L} = (L^*/L^{*3})[\tau + 1, \tau_2 + 1]$, $\bar{\alpha} \neq \bar{1}$,
 $\alpha \sim \alpha^{-1}$.*

Introduction

Formule
asymptotique

Exemples

Algorithme

Résultats

Première bijection

Proposition 1

Il existe une bijection entre :

- *Éléments de $\mathcal{F}(K_2)$ (classes d'isomorphisme d'extensions K/k ayant résolvante quadratique isomorphe à K_2)*, et
- *éléments $\bar{\alpha} \in \mathcal{L} = (L^*/L^{*3})[\tau + 1, \tau_2 + 1]$, $\bar{\alpha} \neq \bar{1}$, $\alpha \sim \alpha^{-1}$.*

$$\bar{\alpha} \in \mathcal{L} \Leftrightarrow \begin{cases} \alpha \in L^* \\ \alpha\tau(\alpha) = \gamma^3, & \gamma \in L^* \\ \alpha\tau_2(\alpha) = \gamma'^3, & \gamma' \in L^* \end{cases}$$

Le groupe de Selmer

Introduction

Formule
asymptotique

Exemples

Algorithme

Résultats

On définit le groupe des **3-unités virtuelles**

$$V_3(L) = \{u \in L^* \mid u\mathbb{Z}_L = \mathfrak{q}^3, \exists \text{ un idéal } \mathfrak{q} \subset L\}$$

Le groupe de Selmer

- Introduction
- Formule asymptotique
- Exemples
- Algorithme
- Résultats

On définit le groupe des **3-unités virtuelles**

$$V_3(L) = \{u \in L^* \mid u\mathbb{Z}_L = \mathfrak{q}^3, \exists \text{ un idéal } \mathfrak{q} \subset L\}$$

et le **3-groupe de Selmer**

$$S_3(L) = V_3(L)/L^{*3}$$

Bijection fondamentale

Introduction

Formule
asymptotique

Exemples

Algorithme

Résultats

Proposition 2

Il existe une bijection entre $\mathcal{F}(K_2)$ et les classes d'équivalence de triplets $(\mathfrak{a}_0, \mathfrak{a}_1, \bar{u})$ tels que

- 1 Les \mathfrak{a}_i sont idéaux entiers de L , sans facteur carré, premiers entre eux, tels que $\overline{\mathfrak{a}_0 \mathfrak{a}_1^2} \in Cl(L)^3$ et $\mathfrak{a}_0 \mathfrak{a}_1^2 \in (I/I^3)[\tau + 1, \tau_2 + 1]$, où I est le groupe des idéaux fractionnaires de L .

On appellera J l'ensemble des paires $(\mathfrak{a}_0, \mathfrak{a}_1)$

- 2 $\bar{u} \in \mathcal{S} = S_3(L)[\tau + 1, \tau_2 + 1]$, et $\bar{u} \neq 1$ quand $\mathfrak{a}_0 = \mathfrak{a}_1 = \mathbb{Z}_L$.

modulo la relation d'équivalence $(\mathfrak{a}_0, \mathfrak{a}_1, \bar{u}) \sim (\mathfrak{a}_1, \mathfrak{a}_0, 1/\bar{u})$

La série de Dirichlet

Introduction

Formule
asymptotique

Exemples

Algorithme

Résultats

Définition 3

On définit la série de Dirichlet

$$\Phi(s) = \frac{1}{2} + \sum_{K \in \mathcal{F}(K_2)} \frac{1}{\mathcal{N}(f(K/k))^s}.$$

La série de Dirichlet

Introduction

Formule
asymptotique

Exemples

Algorithme

Résultats

Définition 3

On définit la série de Dirichlet

$$\Phi(s) = \frac{1}{2} + \sum_{K \in \mathcal{F}(K_2)} \frac{1}{\mathcal{N}(f(K/k))^s}.$$

Par la bijection fondamentale

$$\Phi(s) = \frac{1}{2} \sum_{(\alpha_0, \alpha_1) \in J} \sum_{\bar{u} \in \mathcal{S}} \frac{1}{\mathcal{N}(f(N/K_2))^s},$$

Forme finale de la série de Dirichlet

Introduction

Formule
asymptotique

Exemples

Algorithme

Résultats

Théorème 2 (Cohen, Morra)

On a

$$\Phi(s) = \frac{|(U(L)/U(L)^3)[\tau + 1, \tau_2 + 1]|}{2 \cdot 3^{(3/2)[k:\mathbb{Q}]s} \prod_{\substack{p|3\mathbb{Z}_k, \\ e(p/3) \text{ impair}}} \mathcal{N}(p)^{s/2}} \cdot \sum_{\mathbf{b} \in \mathcal{B}} \left(\frac{|\mathcal{N}(\mathbf{b})|}{\mathcal{N}(\mathbf{r}^e(\mathbf{b}))} \right)^s \frac{P_{\mathbf{b}}(s)}{|(Z_{\mathbf{b}}/Z_{\mathbf{b}}^3)[\tau + 1, \tau_2 + 1]|} \sum_{\chi \in \widehat{\mathcal{G}_{\mathbf{b}}}} F(\mathbf{b}, \chi, s).$$

Les autres cas

Introduction

Formule asymptotique

Exemples

Algorithme

Résultats

Cas	type extension	ρ	τ, τ_2	T
1	cyclique	$\rho \in k$	$\tau = \tau_2 = 1$	\emptyset
2	cyclique	$\rho \notin k$	$\tau_2 = 1$ $\tau(\rho) = \rho^{-1}$	$T = \{\tau + 1\}$
3	non cyclique	$\rho \in k$	$\tau = 1$ $\tau_2(\rho) = \rho$	$T = \{\tau_2 + 1\}$
4	non cyclique	$\rho \in K_2 \setminus k$	$\tau = 1$ $\tau_2(\rho) = \rho^{-1}$	$T = \{\tau_2 - 1\}$
5	non cyclique	$\rho \notin K_2$	$\tau, \tau_2 \neq 1$ $\tau(\rho) = \rho^{-1}$ $\tau_2(\rho) = \rho$	$T = \{\tau + 1, \tau_2 + 1\}$

- Dans les cas 2,3 et 5 on développe $\Phi(s)$ autour du pôle $s = 1$

$$\Phi(s) = \frac{C}{(s-1)} + O(1),$$

et grâce à un théorème tauberien

$$M(K_2/k, X) \sim C \cdot X$$

- Dans les cas 2,3 et 5 on développe $\Phi(s)$ autour du pôle $s = 1$

$$\Phi(s) = \frac{C}{(s-1)} + O(1),$$

et grâce à un théorème tauberien

$$M(K_2/k, X) \sim C \cdot X$$

- Dans les cas 1 et 4 de manière similaire on obtient

$$\Phi(s) = \frac{C}{(s-1)^2} + \frac{C \cdot D}{(s-1)} + O(1), \text{ et donc}$$

$$M(K_2/k, X) \sim C \cdot X(\log(X) + D - 1)$$

Le terme d'erreur

Introduction

Formule
asymptotique

Exemples

Algorithme

Résultats

- On peut prouver que le terme d'erreur dans les formules asymptotiques du théorème est $O(X^{\alpha+\varepsilon})$, $\alpha < 1$, pour tout $\varepsilon > 0$.

Le terme d'erreur

Introduction

Formule
asymptotique

Exemples

Algorithme

Résultats

- On peut prouver que le terme d'erreur dans les formules asymptotiques du théorème est $O(X^{\alpha+\varepsilon})$, $\alpha < 1$, pour tout $\varepsilon > 0$.
- En particulier pour $k = \mathbb{Q}$ on peut montrer $\alpha = 2/3$.

Le terme d'erreur

- On peut prouver que le terme d'erreur dans les formules asymptotiques du théorème est $O(X^{\alpha+\varepsilon})$, $\alpha < 1$, pour tout $\varepsilon > 0$.
- En particulier pour $k = \mathbb{Q}$ on peut montrer $\alpha = 2/3$.
- Si on suppose l'hypothèse de Lindelöf (généralisée) on a $\alpha = 1/2$ pour tout k, K_2 .

Le terme d'erreur

- On peut prouver que le terme d'erreur dans les formules asymptotiques du théorème est $O(X^{\alpha+\varepsilon})$, $\alpha < 1$, pour tout $\varepsilon > 0$.
- En particulier pour $k = \mathbb{Q}$ on peut montrer $\alpha = 2/3$.
- Si on suppose l'hypothèse de Lindelöf (généralisée) on a $\alpha = 1/2$ pour tout k, K_2 .
- **Remarque :** GRH \implies Lindelof.

Extensions cubiques cycliques \mathbb{Q}

$$\sum_{K/\mathbb{Q} \text{ cubiques cycliques}} \frac{1}{f(K)^s} = -\frac{1}{2} + \frac{1}{2} \left(1 + \frac{2}{3^{2s}}\right) \prod_{p \equiv 1 \pmod{3}} \left(1 + \frac{2}{p^s}\right),$$

donc

$$M(\mathbb{Q}, X) = C \cdot X + O(X^{2/3+\varepsilon}),$$

avec

$$\begin{aligned} C &= \frac{11\sqrt{3}}{36\pi} \prod_{p \equiv 1 \pmod{3}} \left(1 - \frac{2}{p(p+1)}\right) \\ &= 0.1585282583961420602835078203575 \dots \end{aligned}$$

Corps cubiques purs sur \mathbb{Q}

Cas (4) : $K_2 = \mathbb{Q}(\rho)$ et $L = K_2$, donc K/\mathbb{Q} est un corps cubique pur i. e. $K = \mathbb{Q}(\sqrt[3]{m})$. On obtient

$$\sum_{K/\mathbb{Q} \text{ cubiques purs}} \frac{1}{f(K)^s} = -\frac{1}{2} + \frac{1}{6} \left(1 + \frac{2}{3^s} + \frac{6}{3^{2s}}\right) \prod_{p \neq 3} \left(1 + \frac{2}{p^s}\right) + \frac{1}{3} \prod_{p \equiv \pm 1 \pmod{9}} \left(1 + \frac{2}{p^s}\right) \prod_{p \not\equiv \pm 1 \pmod{9}} \left(1 - \frac{1}{p^s}\right).$$

et donc

$$M(\mathbb{Q}(\sqrt{-3}), X) = C \cdot X \cdot (\log(X) + D - 1) + O(X^{2/3+\varepsilon}),$$

où

$$\begin{aligned} C = C(\mathbb{Q}(\sqrt{-3})) &= \frac{7}{30} \prod_p \left(1 - \frac{3}{p^2} + \frac{2}{p^3} \right) \\ &= 0.066907733301378371291841632984295 \dots \end{aligned}$$

$$\begin{aligned} D = D(\mathbb{Q}(\sqrt{-3})) &= 2\gamma - \frac{16}{35} \log(3) + 6 \sum_p \frac{\log(p)}{p^2 + p - 2} \\ &= 3.450222797830591962790711919671110 \dots, \end{aligned}$$

et γ est la constante d'Euler.

Cas (5) : $K_2 = \mathbb{Q}(\sqrt{D})$ avec $D \neq -3$

Il existe une fonction $\phi_D(s)$ holomorphe pour $\text{Re}(s) > 1/2$ telle que

$$\sum_{K \in \mathcal{F}(K_2)} \frac{1}{f(K)^s} = \phi_D(s) + \frac{3^{r_2(D)}}{6} L_3(s) \prod_{\left(\frac{-3D}{p}\right)=1} \left(1 + \frac{2}{p^s}\right),$$

où

$$L_3(s) = \begin{cases} 1 + 2/3^{2s} & \text{si } 3 \nmid D, \\ 1 + 2/3^s & \text{si } D \equiv 3 \pmod{9}, \\ 1 + 2/3^s + 6/3^{2s} & \text{si } D \equiv 6 \pmod{9}. \end{cases}$$

$r_2(D) = 1$ pour $D < 0$, $r_2(D) = 0$ sinon.

On pose $D' = -3D$ si $3 \nmid D$ et $D' = -D/3$ si $3 \mid D$, et on note $\chi_{D'}$ le caractère $\left(\frac{D'}{\cdot}\right)$. Alors si $D \neq -3$ est un discriminant fondamental, pour tout $\varepsilon > 0$ on a

$$M(\mathbb{Q}(\sqrt{D}), X) = C \cdot X + O(X^{2/3+\varepsilon}),$$

avec

$$C = \frac{3^{r_2(D)} l_3 L(\chi_{D'}, 1)}{\pi^2} \prod_{p|D'} \left(1 - \frac{1}{p+1}\right).$$

$$\prod_{\left(\frac{D'}{p}\right)=1} \left(1 - \frac{2}{p(p+1)}\right), \quad \text{où}$$

$$l_3 = \begin{cases} 11/9 & \text{si } 3 \nmid D, \\ 5/3 & \text{si } D \equiv 3 \pmod{9}, \\ 7/5 & \text{si } D \equiv 6 \pmod{9}. \end{cases}$$

Introduction

Formule
asymptotique

Exemples

Algorithme

Résultats

Un algorithme pour énumérer les extensions cubiques relatives

Résultat principal

Théorème 3

Soit K un des 9 corps quadratiques imaginaires de nombre de classes 1.

Introduction

Formule
asymptotique

Exemples

Algorithme

Résultats

Résultat principal

Théorème 3

Soit K un des 9 corps quadratiques imaginaires de nombre de classes 1.

- *Il existe un algorithme pour énumérer toutes les extensions cubiques de K (mod \sim) jusqu'à une borne X sur la norme du discriminant relatif.*

Introduction

Formule
asymptotique

Exemples

Algorithme

Résultats

Résultat principal

Théorème 3

Soit K un des 9 corps quadratiques imaginaires de nombre de classes 1.

- Il existe un algorithme pour énumérer toutes les extensions cubiques de K (mod \sim) jusqu'à une borne X sur la norme du discriminant relatif.*
- Cet algorithme marche en temps $O_\varepsilon(X^{1+\varepsilon})$, pour tout $\varepsilon > 0$.*

Résultat principal

Théorème 3

Soit K un des 9 corps quadratiques imaginaires de nombre de classes 1.

- Il existe un algorithme pour énumérer toutes les extensions cubiques de K (mod \sim) jusqu'à une borne X sur la norme du discriminant relatif.*
- Cet algorithme marche en temps $O_\varepsilon(X^{1+\varepsilon})$, pour tout $\varepsilon > 0$.*

On a programmé une version explicite en PARI/GP pour le cas $K = \mathbb{Q}(i)$ qui peut être facilement adaptée pour tout corps quadratique imaginaire de nombre de classes 1.

L'algorithme sur \mathbb{Q}

Théorème 4 (Levi, Delone-Faddeev, Davenport-Heilbronn, Belabas, Bhargava)

Il existe une bijection entre les corps cubiques sur \mathbb{Q} (modulo isomorphisme) et les classes de formes quadratiques binaires irréductibles

$$ax^3 + bx^2y + cxy^2 + dy^3, \quad a, b, c, d \in \mathbb{Z}$$

modulo $GL_2(\mathbb{Z})$, telles que $\langle 1, ax, ax^2 + bx \rangle_{\mathbb{Z}}$ est un anneau maximal de $\mathbb{Q}[x]/(ax^3 + bx^2 + cx + d)$.

Introduction

Formule
asymptotique

Exemples

Algorithme

Résultats

L'algorithme sur \mathbb{Q}

Théorème 4 (Levi, Delone-Faddeev, Davenport-Heilbronn, Belabas, Bhargava)

Il existe une bijection entre les corps cubiques sur \mathbb{Q} (modulo isomorphisme) et les classes de formes quadratiques binaires irréductibles

$$ax^3 + bx^2y + cxy^2 + dy^3, \quad a, b, c, d \in \mathbb{Z}$$

modulo $GL_2(\mathbb{Z})$, telles que $\langle 1, ax, ax^2 + bx \rangle_{\mathbb{Z}}$ est un anneau maximal de $\mathbb{Q}[x]/(ax^3 + bx^2 + cx + d)$.

L'algorithme de Belabas : utilise le critère de Dedekind + des méthodes de crible \implies on peut énumérer les $O(X)$ corps de discriminant borné par X en utilisant $O(X)$ opérations sur entiers $\leq X$.

Le théorème de Taniguchi (1)

Soit \mathcal{O} un anneau de Dedekind.

Introduction

Formule
asymptotique

Exemples

Algorithme

Résultats

Le théorème de Taniguchi (1)

Soit \mathcal{O} un anneau de Dedekind.

Soit $\mathcal{C}(\mathcal{O})$ l'ensemble des classes d'isomorphisme de \mathcal{O} -algèbres projectives de rang 3 comme \mathcal{O} -modules (*algèbres cubiques*).

Introduction

Formule
asymptotique

Exemples

Algorithme

Résultats

Le théorème de Taniguchi (1)

Soit \mathcal{O} un anneau de Dedekind.

Soit $\mathcal{C}(\mathcal{O})$ l'ensemble des classes d'isomorphisme de \mathcal{O} -algèbres projectives de rang 3 comme \mathcal{O} -modules (*algèbres cubiques*).

Pour tout idéal fractionnaire \mathfrak{a} , on définit

$$\mathcal{C}(\mathcal{O}, \mathfrak{a}) = \{R \in \mathcal{C}(\mathcal{O}) \mid \text{St}(R) = \mathfrak{a}\}$$

Le théorème de Taniguchi (1)

Soit \mathcal{O} un anneau de Dedekind.

Soit $\mathcal{C}(\mathcal{O})$ l'ensemble des classes d'isomorphisme de \mathcal{O} -algèbres projectives de rang 3 comme \mathcal{O} -modules (*algèbres cubiques*).

Pour tout idéal fractionnaire \mathfrak{a} , on définit

$$\mathcal{C}(\mathcal{O}, \mathfrak{a}) = \{R \in \mathcal{C}(\mathcal{O}) \mid \text{St}(R) = \mathfrak{a}\}$$

- $G_{\mathfrak{a}} = \left\{ \left(\begin{array}{cc} \alpha \in \mathcal{O} & \beta \in \mathfrak{a}^{-1} \\ \gamma \in \mathfrak{a} & \delta \in \mathcal{O} \end{array} \right) \mid \alpha\delta - \beta\gamma \in \mathcal{O}^{\times} \right\}$
- $V_{\mathfrak{a}} = \{F = (a, b, c, d) \mid a \in \mathfrak{a}, b \in \mathcal{O}, c \in \mathfrak{a}^{-1}, d \in \mathfrak{a}^{-2}\}$

Le théorème de Taniguchi (2)

- Introduction
- Formule asymptotique
- Exemples
- Algorithme
- Résultats

Théorème 5 (Taniguchi)

Il existe une bijection canonique entre $\mathcal{C}(\mathcal{O}, \mathfrak{a})$ et $V_{\mathfrak{a}}/G_{\mathfrak{a}}$ qui rend ce diagramme commutatif :

$$\begin{array}{ccc} V_{\mathfrak{a}}/G_{\mathfrak{a}} & \longrightarrow & \mathcal{C}(\mathcal{O}, \mathfrak{a}) \\ D \downarrow & & \downarrow \mathfrak{d} \\ \mathfrak{a}^{-2}/(\mathcal{O}^{\times})^2 & \xrightarrow{\times \mathfrak{a}^2} & \{\text{idéaux entiers de } \mathcal{O}\} \end{array}$$

Le covariant

Soit \mathcal{O} un ordre *quadratique imaginaire* maximal.

Soit $F(x, y) = ax^3 + bx^2y + cxy^2 + dy^3$.

Introduction

Formule
asymptotique

Exemples

Algorithme

Résultats

Le covariant

Soit \mathcal{O} un ordre *quadratique imaginaire* maximal.

Soit $F(x, y) = ax^3 + bx^2y + cxy^2 + dy^3$.

$$F(x, 1) = a(x - \alpha_1)(x - \alpha_2)(x - \alpha_3) \in \mathbb{C}[x].$$

Introduction

Formule
asymptotique

Exemples

Algorithme

Résultats

Le covariant

Soit \mathcal{O} un ordre *quadratique imaginaire* maximal.

Soit $F(x, y) = ax^3 + bx^2y + cxy^2 + dy^3$.

$$F(x, 1) = a(x - \alpha_1)(x - \alpha_2)(x - \alpha_3) \in \mathbb{C}[x].$$

grâce au travail de G. Julia, on sait que un covariant pour l'action de $GL_2(\mathcal{O})$ est la forme hermitienne binaire:

$$H_F = t_1^2 |x - \alpha_1 y|^2 + t_2^2 |x - \alpha_2 y|^2 + t_3^2 |x - \alpha_3 y|^2,$$

où $t_i^2 = |a|^2 |\alpha_j - \alpha_k|^2 \quad i \neq j \neq k \neq i$.

Introduction

Formule
asymptotique

Exemples

Algorithme

Résultats

On peut écrire

$$H_F = P|x|^2 + Qx\bar{y} + \bar{Q}\bar{x}y + R|y|^2,$$

Introduction

Formule
asymptotique

Exemples

Algorithme

Résultats

On peut écrire

$$H_F = P|x|^2 + Qx\bar{y} + \overline{Q}\bar{x}y + R|y|^2,$$

où

$$\begin{cases} P = t_1^2 + t_2^2 + t_3^2 \in \mathbb{R} \\ Q = \alpha_1 t_1^2 + \alpha_2 t_2^2 + \alpha_3 t_3^2 \in \mathbb{C} \\ R = |\alpha_1|^2 t_1^2 + |\alpha_2|^2 t_2^2 + |\alpha_3|^2 t_3^2 \in \mathbb{R}. \end{cases}$$

On peut écrire

$$H_F = P|x|^2 + Qx\bar{y} + \overline{Q}\bar{x}y + R|y|^2,$$

où

$$\begin{cases} P = t_1^2 + t_2^2 + t_3^2 \in \mathbb{R} \\ Q = \alpha_1 t_1^2 + \alpha_2 t_2^2 + \alpha_3 t_3^2 \in \mathbb{C} \\ R = |\alpha_1|^2 t_1^2 + |\alpha_2|^2 t_2^2 + |\alpha_3|^2 t_3^2 \in \mathbb{R}. \end{cases}$$

Soit

$$\Delta := PR - |Q|^2 = 3|D(F)|$$

Le 3-espace hyperbolique

$$\begin{aligned}\mathcal{H}_3 &= \{z + tj \mid z \in \mathbb{C}, t \in \mathbb{R}_+^*\} \\ &= \{h = z + tj \mid t > 0, h \in \mathbb{H} \text{ de } k\text{-composante } 0\},\end{aligned}$$

où \mathbb{H} est l'anneau des quaternions.

Introduction

Formule
asymptotique

Exemples

Algorithme

Résultats

Le 3-espace hyperbolique

$$\begin{aligned}\mathcal{H}_3 &= \{z + tj \mid z \in \mathbb{C}, t \in \mathbb{R}_+^*\} \\ &= \{h = z + tj \mid t > 0, h \in \mathbb{H} \text{ de } k\text{-composante } 0\},\end{aligned}$$

où \mathbb{H} est l'anneau des quaternions.

L'action de $SL_2(\mathbb{C})$ sur \mathcal{H}_3 (notation des quaternions)

$$M \cdot h = (Ah + B)(Ch + D)^{-1},$$

pour tout $M = \begin{pmatrix} A & B \\ C & D \end{pmatrix} \in SL_2(\mathbb{C}), h \in \mathcal{H}_3.$

Introduction

Formule
asymptotique

Exemples

Algorithme

Résultats

Le 3-espace hyperbolique

Introduction

Formule asymptotique

Exemples

Algorithmes

Résultats

$$\begin{aligned}\mathcal{H}_3 &= \{z + tj \mid z \in \mathbb{C}, t \in \mathbb{R}_+^*\} \\ &= \{h = z + tj \mid t > 0, h \in \mathbb{H} \text{ de } k\text{-composante } 0\},\end{aligned}$$

où \mathbb{H} est l'anneau des quaternions.

L'action de $SL_2(\mathbb{C})$ sur \mathcal{H}_3 (notation des quaternions)

$$M \cdot h = (Ah + B)(Ch + D)^{-1},$$

pour tout $M = \begin{pmatrix} A & B \\ C & D \end{pmatrix} \in SL_2(\mathbb{C}), h \in \mathcal{H}_3.$

Soit $\mathcal{P} =$

{ formes hermitiennes binaires, définies positives dans \mathbb{C} }

et soit $\widetilde{\mathcal{P}} = \mathcal{P}/\mathbb{R}^+$ où \mathbb{R}^+ agit sur \mathcal{P} par multiplication.

Introduction

Formule
asymptotique

Exemples

Algorithme

Résultats

$\Phi : \mathcal{P} \rightarrow \mathcal{H}_3$ défini par:

$$\Phi \left(\left(\begin{pmatrix} P & Q \\ \frac{P}{Q} & R \end{pmatrix} \right) \right) = -\frac{Q}{P} + \frac{\sqrt{\Delta}}{P}j.$$

$\Phi : \mathcal{P} \rightarrow \mathcal{H}_3$ défini par:

$$\Phi \left(\left(\begin{pmatrix} P & Q \\ \bar{Q} & R \end{pmatrix} \right) \right) = -\frac{Q}{P} + \frac{\sqrt{\Delta}}{P}j.$$

Φ induit une **bijection** $\tilde{\Phi} : \tilde{\mathcal{P}} \rightarrow \mathcal{H}_3$,
qui commute avec l'action de $SL_2(\mathcal{O})$.

$\Phi : \mathcal{P} \rightarrow \mathcal{H}_3$ défini par:

$$\Phi \left(\left(\begin{pmatrix} P & Q \\ \bar{Q} & R \end{pmatrix} \right) \right) = -\frac{Q}{P} + \frac{\sqrt{\Delta}}{P}j.$$

Φ induit une **bijection** $\tilde{\Phi} : \tilde{\mathcal{P}} \rightarrow \mathcal{H}_3$,
qui commute avec l'action de $SL_2(\mathcal{O})$.

Les domaines fondamentaux de \mathcal{H}_3 modulo $SL_2(\mathcal{O})$ sont bien connus (Swan).

- Quand $h_K = 1$, à partir de la description du domaine fondamental de \mathcal{H}_3 modulo $SL_2(\mathcal{O})$ on obtient une borne inférieure $t \geq t_K > 0$ qui ne dépend que du discriminant du corps de nombres K , pour $z + it \in \mathcal{H}_3$ dans le domaine fondamental.

Cela nous permet de borner P, Q, R , et donc a, b, c, d .

- Quand $h_K = 1$, à partir de la description du domaine fondamental de \mathcal{H}_3 modulo $SL_2(\mathcal{O})$ on obtient une borne inférieure $t \geq t_K > 0$ qui ne dépend que du discriminant du corps de nombres K , pour $z + it \in \mathcal{H}_3$ dans le domaine fondamental.
Cela nous permet de borner P, Q, R , et donc a, b, c, d .
- (Question ouverte) Quand $h_K > 1$, il y a des points du domaine fondamental tels que $t = 0$ (pointes), donc on a besoin d'une action de groupe supplémentaire pour envoyer ces autres pointes sur la pointe à l'infini. Une fois trouvée cette action, il devrait être possible de borner P, Q, R et obtenir un algorithme explicite aussi dans le cas $h_K \neq 1$.

Quand $h_K = 1$

Introduction

Formule
asymptotique

Exemples

Algorithme

Résultats

{extensions cubiques L/K , avec $\mathfrak{d}(L/K) \leq X$ }/ \sim

Quand $h_K = 1$

Introduction

Formule
asymptotique

Exemples

Algorithme

Résultats

$$\begin{array}{c} \{\text{extensions cubiques } L/K, \text{ avec } \mathfrak{d}(L/K) \leq X\} / \sim \\ \updownarrow \\ \{\text{formes cubiques binaires modulo } GL_2(\mathcal{O})\} \end{array}$$

Quand $h_K = 1$

Introduction
Formule
asymptotique
Exemples
Algorithme
Résultats

{extensions cubiques L/K , avec $\mathfrak{d}(L/K) \leq X\} / \sim$



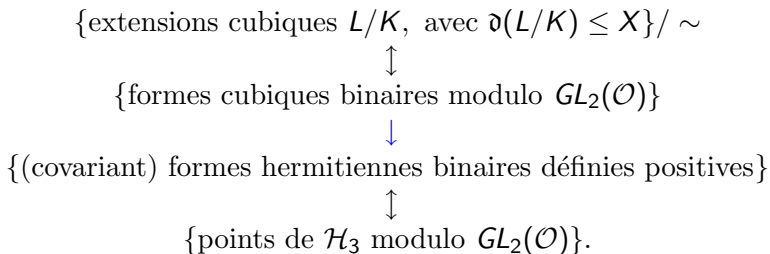
{formes cubiques binaires modulo $GL_2(\mathcal{O})$ }



{(covariant) formes hermitiennes binaires définies positives}

Quand $h_K = 1$

Introduction
Formule
asymptotique
Exemples
Algorithme
Résultats



Théorème 6

Soit $F = (a, b, c, d)$ une forme cubique binaire *réduite*, avec coefficients dans \mathcal{O} , dont la norme du discriminant relatif est bornée par X . Alors

$$|a| \ll X^{1/8}; \quad |b| \ll X^{1/8}$$

$$|ad| \ll X^{1/4}; \quad |bc| \ll X^{1/4}.$$

et donc on peut parcourir les telles formes F en temps $O(X)$.

Implémentation

- Automorphismes et morphismes du bord (algorithme pour parcourir toutes les matrices).

Introduction

Formule
asymptotique

Exemples

Algorithme

Résultats

Implémentation

- Automorphismes et morphismes du bord (algorithme pour parcourir toutes les matrices).
- Calculs flottants et vérification d'identités algébriques.

Introduction

Formule
asymptotique

Exemples

Algorithme

Résultats

Implémentation

Introduction

Formule
asymptotique

Exemples

Algorithme

Résultats

- Automorphismes et morphismes du bord (algorithme pour parcourir toutes les matrices).
- Calculs flottants et vérification d'identités algébriques.
- Étude de la précision nécessaire.

Implémentation

Introduction
Formule
asymptotique
Exemples
Algorithme
Résultats

- Automorphismes et morphismes du bord (algorithme pour parcourir toutes les matrices).
- Calculs flottants et vérification d'identités algébriques.
- Étude de la précision nécessaire.
- Une autre réduction pour parcourir plus rapidement les (a, b, c, d) .

Implémentation

Introduction

Formule
asymptotique

Exemples

Algorithme

Résultats

- Automorphismes et morphismes du bord (algorithme pour parcourir toutes les matrices).
- Calculs flottants et vérification d'identités algébriques.
- Étude de la précision nécessaire.
- Une autre réduction pour parcourir plus rapidement les (a, b, c, d) .
- Comparaison avec l'algorithme classique (corps de classes de rayon).

Résultats

$$K = \mathbb{Q}(i)$$

X	$N(X)$	t	t'
10^4	276	5s	16s
$4 \cdot 10^4$	1339	19s	1mn 18s
$9 \cdot 10^4$	3305	56s	3mn 45s
10^6	42692	24mn 1s	2h 52mn 9s
$4 \cdot 10^6$	181944	2h 49mn	34h 24mn 8s
$9 \cdot 10^6$	421559	9h 37 mn	> 134h
10^8	4990974	359h 25mn	> 2720 h

(Intel Xeon 5160 dual core, 3.0 GHz)

Introduction

Formule
asymptotique

Exemples

Algorithmes

Résultats

Merci